

---

# Stochastische Thermodynamik II: Entropieproduktion, Thermodynamische Unschärferelation

---

Selin Öz

**5. Juli 2023**

AG Kierfeld  
Fakultät Physik

## Einführung

Mesostates

Entropieproduktion für geschlossene Systeme

Entropieproduktion für offene Systeme

Unschärferelation

## Mesostates

- **Microstate**  $\xi$  mit Energie  $H(\xi)$  eines geschlossenen Gleichgewichtssystem im Kontakt mit Wärmebad mit der inversen Temperatur  $\beta$
- Aus der statistischen Thermodynamik sind die **Freie Energie**  $F$ , **innere Energie**  $U$  und **Entropie**  $S$  bekannt

$$F = -(1/\beta) \ln \sum_{\xi} \exp[-\beta H(\xi)], \quad U = \partial_{\beta}(\beta F), \quad S = \beta^2 \partial_{\beta} F$$

- Microstates  $\xi$  gehören einem **Mesostate**  $I$ . Die Wahrscheinlichkeit für den Mesostate  $I$

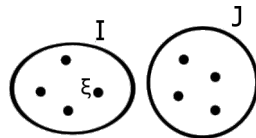
$$P_I = \sum_{\xi \in I} \exp[-\beta (H(\xi) - F)] \equiv \exp[-\beta (F_I - F)]$$

- Die bedingte Wahrscheinlichkeit des Microstates  $\xi$

$$P(\xi|I) = \exp[-\beta (H(\xi) - F)] / P_I = \exp[-\beta (H(\xi) - F_I)]$$

- Daraus folgen für die Freie Energie  $F_I$ , innere Energie  $U_I$  und Entropie  $S_I$

$$F_I = -(1/\beta) \ln \sum_{\xi \in I} \exp[-\beta H(\xi)], \quad U_I = \partial_{\beta}(\beta F_I), \quad S_I = \beta^2 \partial_{\beta} F = - \sum_{\xi \in I} P(\xi|I) \ln P(\xi|I)$$



- die freie Energie-Differenz zwischen den Mesostates  $I$  und  $J$

$$\Delta_{IJ}F = F_J - F_I = -(1/\beta) \ln[P_J/P_I]$$

- aus der freien Energie-Differenz lässt sich die **detailed balance condition** ableiten

$$K_{IJ}/K_{JI} = \exp[-\beta\Delta_{IJ}F], \quad (1)$$

wobei  $K_{IJ} = \partial_t P(J, t' | I, t)_{t'=t}$  die Übergangsrate ist

- Wenn die Microstate-Dynamik schneller ist als die, der Mesostates, können die Übergangsraten unabhängig davon, wie lange man sich in einem Zustand befindet, betrachtet werden. Die zeitliche Entwicklung der Wahrscheinlichkeit wird mit der **Master equation** beschrieben

$$\partial_t P_I(t) = \sum_J [P_J(t)K_{JI} - P_I(t)K_{IJ}] \quad (2)$$

## Entropieproduktion entlang einer Trajektorie

- Die **totale Entropieproduktion** entlang einer Trajektorie ein Maß für eine gebrochene Zeit-Symmetrie

$$\Delta S_{\text{tot}}[I(t)] \equiv \ln \left( P[I(t)] / \tilde{P}[\tilde{I}(t)] \right)$$

mit  $\tilde{I}(t) \equiv I(T - t)$

- mit der **Master equation** für die explizite  $P[I(t)]$ , lässt sich die Entropieproduktion in drei Teile teilen

$$\Delta S_{\text{tot}}[I(t)] = \beta Q[I(t)] + \Delta S[I(t)] + \Delta S_{\text{sto}}[I(t)]$$

- $\beta Q[I(t)] = -\beta (U_{I_T} - U_{I_0})$  ist die Entropieänderung im Wärmebad durch dissipierte Wärme
- $\Delta S[I(t)] = S_{I_T} - S_{I_0}$  ist Änderung der intrinsischen Entropie, wird oft vernachlässigt
- $S_{\text{sto}}[I(t)] = -\ln P_{I(t)}(t)$  ist die Änderung der Stochastischen Entropie

## Entropieproduktion im Esemble

- Die Entropieproduktion zwischen zwei Mesostates  $I$  und  $J$  setzt sich analog zusammen

$$\Delta_{IJ}S[I(t)] = \beta Q_{IJ} + \Delta_{IJ}S^{\text{sys}} = \ln[P_I(t)K_{IJ}/P_J(t)K_{JI}]$$

- $\beta Q_{IJ} = -\beta(U_I - U_J)$  ist die Entropieänderung im Wärmebad durch dissipierte Wärme
  - $S^{\text{sys}} = S_{I(t)} - \ln P_{I(t)}(t)$ ,  $S_{I(t)}$  ist die intrinsische Entropie
- die Entropieproduktion zwischen zwei Mesostates gemittelt über die Anzahl der Wechsel  $n_{IJ}$  von  $I$  zu  $J$  in der Zeit  $T$  ist die totale Entropieproduktion

$$\Delta S_{\text{tot}}[I(t)] = \sum_{IJ} n_{IJ} \Delta_{IJ}S[I(t)] = \sum_{IJ} n_{IJ} \ln[P_I(t)K_{IJ}/P_J(t)K_{JI}]$$

- die mittlere Entropieproduktionsrate

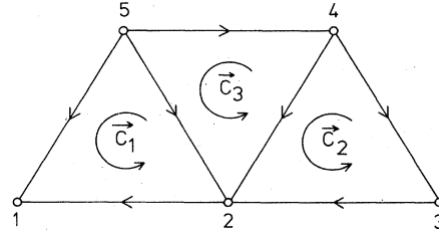
$$\langle \dot{S}_{\text{tot}} \rangle = \sum_{IJ} P_I(t)K_{IJ} \Delta_{IJ}S[I(t)] = \sum_{I < J} [P_I(t)K_{IJ} - P_J(t)K_{JI}] \ln[P_I(t)K_{IJ}/P_J(t)K_{JI}] \geq 0$$

- integral fluctuation theorem** für totale Entropieproduktion

$$\langle \exp[-\Delta S_{\text{tot}}] \rangle = 1$$

## Entropieproduktion durch Phänomenologie

- Strom  $J_{ij} = K_{ij}P_j - K_{ji}P_i$
- zu jeden Kreis  $C_k$  gehört eine Affinität  $A_{ij} = \ln K_{ij}P_j / K_{ji}P_i$
- Entropieproduktionsrate
 
$$\sigma = \sum_{i,j} J_{ij}A_{ij} = \sum_{i < j} [P_i(t)K_{ij} - P_j(t)K_{ji}] \ln [P_i(t)K_{ij} / P_j(t)K_{ji}]$$



## Entropieproduktion für offene Systeme

- System wird aufgeteilt in
  - Kern-System
  - Umgebende-Lösung, die als Teilchen-Reservoir dient, und externe mechanische Arbeit liefert
- Die **detailed balance condition** wird zu

$$K_{ij}/K_{ji} = \exp[-\beta\Delta_{ij}F - \sum_{\alpha} \mu^{\alpha}d_{ij}^{\alpha} + f d_{ij}], \quad (3)$$

wobei  $d_{ij}^{\alpha} > 0$  heißt, dass Teilchen der Sorte  $\alpha$  vom chemische Potential  $\mu^{\alpha}$  abgegeben werden,  $f d_{ij}$  ist die Arbeit, die von der Kraft  $f$  entlang der Länge  $d_{ij}$  verrichtet wird

- Die Master equation beschreibt die Wahrscheinlichkeiten des Kern-Systems

$$\partial_t P_i(t) = \sum_j [P_j(t)K_{ji} - P_i(t)K_{ij}] \quad (4)$$



- Der erste Hauptsatz für die Trajektorie  $I \rightarrow J$

$$\Delta_{IJ}U + \Delta_{IJ}U^{\text{sol}} + W_{IJ}^{\text{out}} = -Q_{IJ}$$

- Zur Entropieänderung des Systems kommt nur die intrinsische Entropieänderung der Umgebundslösung

$$\Delta_{IJ}S^{\text{sys}}(t) = \Delta_{IJ}S + \Delta_{IJ}S^{\text{sol}} - \ln P_I/P_J$$

- Die totale Entropieänderung ist denach

$$\Delta_{IJ}S(t) = \beta Q_{IJ} + \Delta_{IJ}S^{\text{sys}}(t) = \ln[P_I(t)K_{IJ}/P_J(t)K_{JI}]$$

- der zweite Hauptsatz auf Ensemble-Level

$$\langle \dot{S}_{\text{tot}} \rangle = \sum_{IJ} P_I(t)K_{IJ}\Delta_{IJ}S[I(t)] = \sum_{I < J} [P_I(t)K_{IJ} - P_J(t)K_{JI}] \ln[P_I(t)K_{IJ}/P_J(t)K_{JI}] \geq 0$$

## Beispiel: Motorproteine

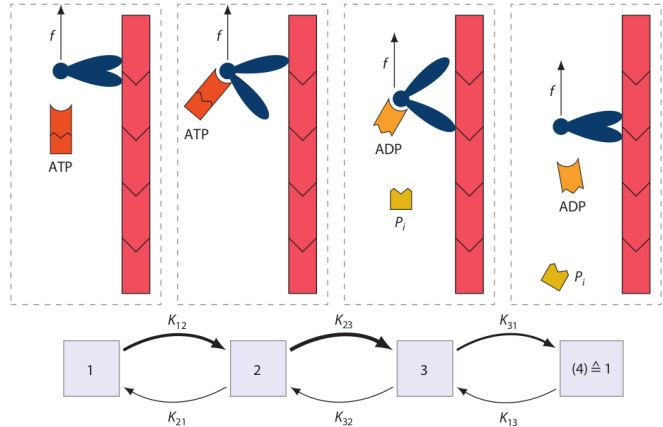
Ein Motor mit zwei Köpfen, der mit Hydrolyse von ATP betrieben wird (Kinesin)

(1→2) ATP bindet ans Molekül

(2→3) ATP-Hydrolyse zu ADP und anorganisches Phosphat, vorderer Kopf macht Schritt

(3→1) ADP löst sich, hinterer Kopf macht Schritt

- $\alpha = T, D, P$  für ATP, ADP, Phosphat
- $d_{12}^T = 1$ ,  $d_{23}^P = 1$ ,  $d_{31}^D = 1$ , und  $d_{ij}^a = 0$
- $d_{23} = d_{31} = d/2$ ,  $d_{12} = 0$ , und  $d_{ji} = -d_{ij}$
- Die Rückraten  $K_{21}$ ,  $K_{32}$  und  $K_{13}$  sind kleiner als  $K_{12}$ ,  $K_{23}$  und  $K_{31}$



## Unschärferelation anhand eines Beispiels

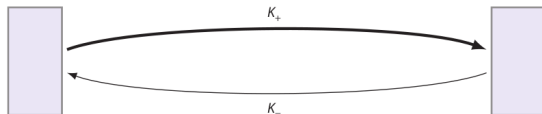
Asymmetrischer random walk

- mittlere Position  $\langle n \rangle = jT$  nach Zeit  $T$
- mittlerer Strom  $j = K_+ - K_-$
- Diffusionskoeffizient  $D = \langle (n - \langle n \rangle)^2 \rangle / 2T = (K_+ + K_-) / 2$
- mittlere Entropieproduktion  $\sigma = (K_+ - K_-) \ln K_+ / K_-$

$$\sigma \geq j^2 / D$$

$$(K_+ - K_-) \ln K_+ / K_- \geq 2(K_+ - K_-)^2 / (K_+ + K_-)$$

für  $K_+ \geq K_-$



## Unschärferelation allgemein

$$\sigma \geq j^2 / D$$

mit  $j = \langle X(T) \rangle / T$  und  $D = \lim_{T \rightarrow \infty} \langle X^2(T) \rangle - \langle X(T) \rangle^2 / 2T$  und  $X = \sum_{ij} d_{ij} n_{ij}(T)$  mit  $d_{ij} = -d_{ji}$

Herleitung:

"Level 2.5 large deviations for continuous-time Markov processes" rate function  $I$ , gibt ein asymptotisches Limit für eine Wahrscheinlichkeit für Fluktuationen

$$-1/T \ln P(p, j) = I(p, j)$$

$I(p, j)$  wird die Fluktuationen der empirischen Stroms  $j$  und der empirischen Wahrscheinlichkeitsdichte  $p$ ,  $I(p, j)$  ist bekannt

$$I(p, j) = \sum_{y < z} \Psi(j(y, z), j^p(y, z), a^p(y, z))$$

mit  $\Psi = \left[ j \left( \operatorname{arcsinh}(j/a) - \operatorname{arcsinh}(\bar{j}/a) \right) - \left( \sqrt{a^2 + j^2} - \sqrt{a^2 + \bar{j}^2} \right) \right]$ ,  $\bar{j} = j/j^p$ ,  $j^p = p(y)r(y, z) - p(z)r(z, y)$  und  $a^p = \sqrt{p(y)p(z)r(y, z)r(z, y)}$

$\Psi$  wird bis zur zweiten Ordnung getaylor

$$\Psi \leq \Psi_{\text{quadratisch}} = \frac{(\bar{j} - \bar{j})^2}{4\bar{j}^2} (2\bar{j} \operatorname{arcsinh}(\bar{j}/a))$$

$\Psi$  wird über die Entropie  $S = \ln \frac{p(y)r(y,z)}{p(z)r(z,y)}$  ausgedrückt

$$\Psi \leq \Psi_{\text{quadratisch}} = \frac{(\bar{j} - 1)^2 \sigma^p}{4}$$

mit  $\sigma^p = j^p S$

mit  $\Psi$  wird  $I(p, j)$  berechnet

$$I(p, j) \leq I_{\text{quadratisch}}(p, j) = \sum_{y < z} \frac{\sigma^p}{4j^p(y, z)^2} (j(y, z) - j^p(y, z))^2$$

$j$  wird mit  $d$  projiziert:  $j_d = j \cdot d$

$$I(p, j) \leq I_{\text{quadratisch}}(p, j) = \frac{(j_d - j^p(y, z))^2}{4j^p(y, z)^2} \sum_{y < z} \sigma^p$$

mit  $\operatorname{var}(j_d) = 1/l''$

$$\frac{2(j_d)^2}{\operatorname{var}(j_d)} \leq \sum_{y < z} \sigma^p$$

Als letztes wird  $i_{\rightarrow} \rightarrow X$  ersetzt

## Thermodynamische Kosten und Unsicherheit

Aus der Unschärferelation lassen sich die **thermodynamic uncertainty relation** herleiten

- die Unsicherheit  $\epsilon^2 \equiv \langle n - \langle n \rangle \rangle^2 / \langle n \rangle^2 = 2D/(j^2T)$  für  $T \rightarrow \infty$  mit  $\langle n \rangle = jT$
- die thermodynamische Kosten  $C = \sigma T / \beta$

$$\sigma \geq j^2 / D \quad | \cdot T / \beta$$

$$\sigma T / \beta \geq j^2 / D T / \beta$$

### thermodynamic uncertainty relation

$$C \geq 2 / \beta / \epsilon^2$$

## Abschätzung des Wirkungsgrad molekular Motoren

- die Input-Leitung  $P^{\text{in}}$
- die Output-Leitung  $P^{\text{out}} = fv$ ,  $f$  ist die Kraft,  $v$  die Geschwindigkeit
- die mittlere Entropieproduktionsrate ist  $\sigma = \beta(P^{\text{in}} - P^{\text{out}})$
- der Wirkungsgrad ist über  $\eta = P^{\text{out}}/P^{\text{in}}$  definiert

### obere Grenze des Wirkungsgrads

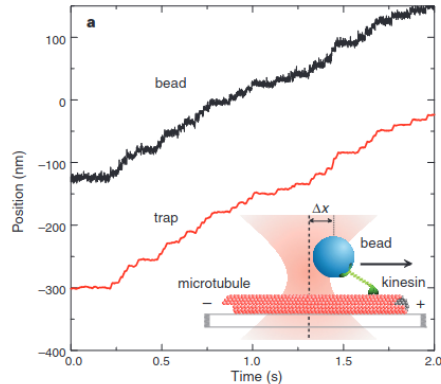
$$\eta = \frac{P^{\text{out}}}{P^{\text{in}}} = \frac{P^{\text{out}}}{P^{\text{out}} + \sigma/\beta} = \frac{fv}{fv + \sigma/\beta} \leq \frac{1}{1 + v/(Df\beta)}$$

## Wirkungsgrad von Kinesin

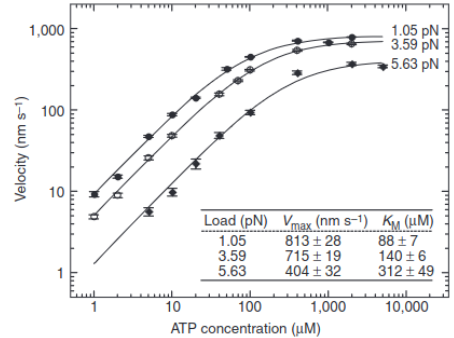
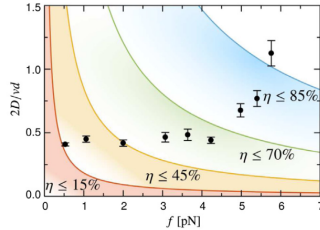
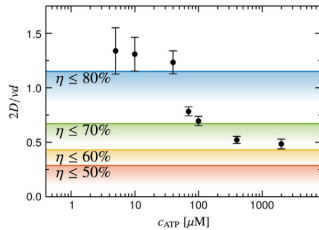
Ein Kinesin wird mit einem Bead verbunden, das in einer optischen Falle ist. Gemessen werden

- Geschwindigkeit  $v$
- Diffusionskonstante  $D$
- randomness Parameter  $r = 2D/vd$ ,  $d$  entspricht Motorschrittlänge

$$\eta \leq \frac{r}{r + 2/fd}$$







## Zusammenfassung

### Entropieproduktion

- Ensemble-Beschreibung und Trajektorien-Beschreibung sind äquivalent
- Totaler Entropieproduktion setzt sich aus drei Teilen zusammen (Änderung im Bad, intrinsische Entropie und stochastische Entropie)

### Unschärferelation

- nutzen Entropieproduktion
- können Aussagen über Ströme, Unschärfekosten und Wirkungsgrade treffen